

第九章 相变

§1 单元系的复相平衡

§2 一级相变的基本特征

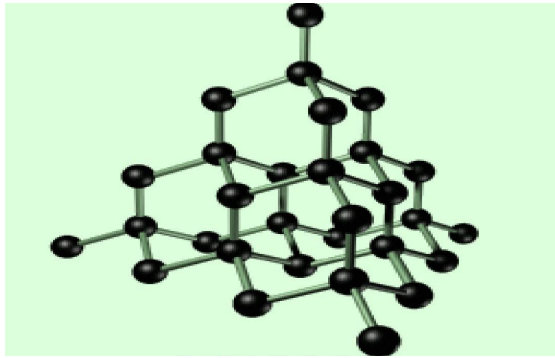
§3 连续相变

参考：刘玉鑫 编著 《热学》 第七章

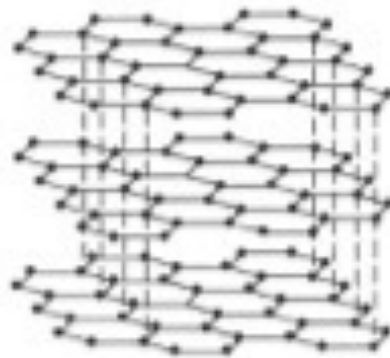
§1 单元系的复相平衡

一、相的概念

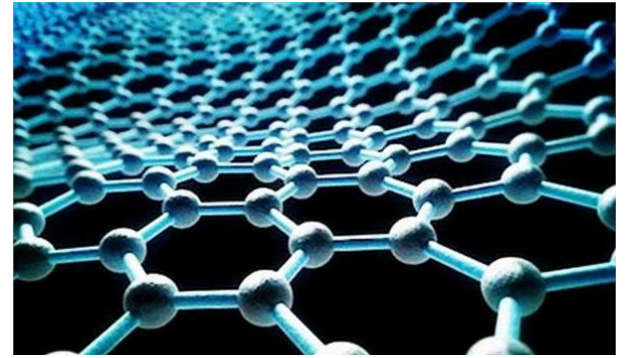
没有外力作用下，**物理和化学性质**完全相同，**成分**完全相同的均匀物质的状态称为相。



金刚石



石墨



石墨烯

二、化学势

对于粒子数可变系统，设摩尔数为 N ，化学势定义

$$\mu = G/N \quad (\text{单位摩尔的自由焓})$$

定义单位摩尔的内能、熵和体积

$$u = U/N, s = S/N, v = V/N$$

1mol 物质的热力学关系式 $du = Tds - pdv$

$$dU = d(Nu) = Ndu + udN \rightarrow Ndu = dU - udN$$

$$Nds = dS - sdN$$

$$Ndv = dV - vdN$$

$$dU = TdS - pdV + \mu dN$$

开放系统的热力学关系

$$dU = TdS - pdV + \mu dN$$

$$dH = TdS + Vdp + \mu dN$$

$$dF = -SdT - pdV + \mu dN$$

$$dG = -SdT + Vdp + \mu dN$$

$$\rightarrow \mu = \left(\frac{\partial U}{\partial N} \right)_{S,V} = \left(\frac{\partial H}{\partial N} \right)_{S,p} = \left(\frac{\partial F}{\partial N} \right)_{T,V} = \left(\frac{\partial G}{\partial N} \right)_{T,p}$$

三、单元系的复相平衡条件

对于一个单元、孤立系统内的两个相 (α, β -相), 内能 $U = U_\alpha + U_\beta$ 、体积 $V = V_\alpha + V_\beta$ 、摩尔数 $N = N_\alpha + N_\beta$ 不变

$$\text{设想两相之间的微小变动 } \delta U = \delta U_\alpha + \delta U_\beta = 0$$

$$\delta V = \delta V_\alpha + \delta V_\beta = 0$$

$$\delta N = \delta N_\alpha + \delta N_\beta = 0$$

$$\text{热平衡时熵极大 } \delta S = \delta S_\alpha + \delta S_\beta = 0$$

$$\begin{aligned} \delta S &= \frac{\delta U_\alpha + p_\alpha \delta V_\alpha - \mu_\alpha \delta N_\alpha}{T_\alpha} + \frac{\delta U_\beta + p_\beta \delta V_\beta - \mu_\beta \delta N_\beta}{T_\beta} \\ &= \left(\frac{1}{T_\alpha} - \frac{1}{T_\beta} \right) \delta U_\alpha + \left(\frac{p_\alpha}{T_\alpha} - \frac{p_\beta}{T_\beta} \right) \delta V_\alpha - \left(\frac{\mu_\alpha}{T_\alpha} - \frac{\mu_\beta}{T_\beta} \right) \delta N_\alpha \end{aligned}$$

$$T_\alpha = T_\beta$$

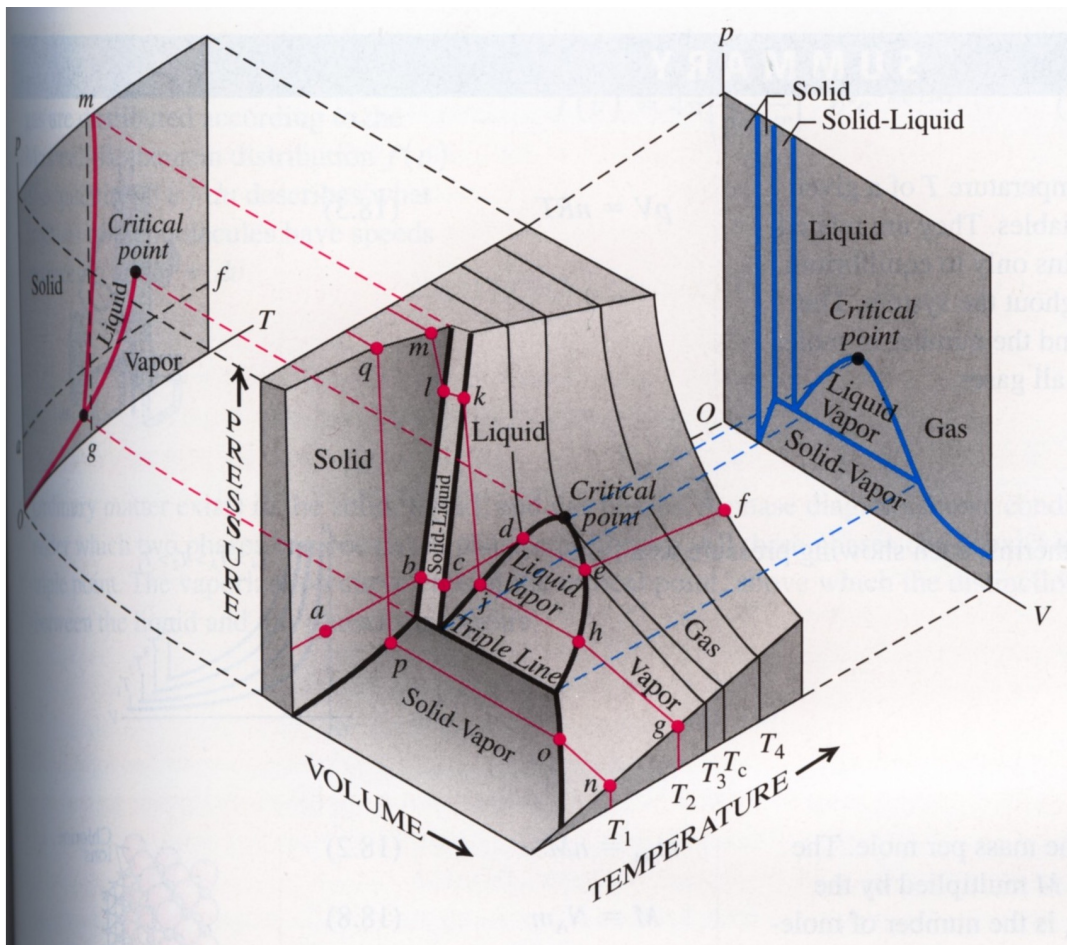
热学平衡条件

$$p_\alpha = p_\beta$$

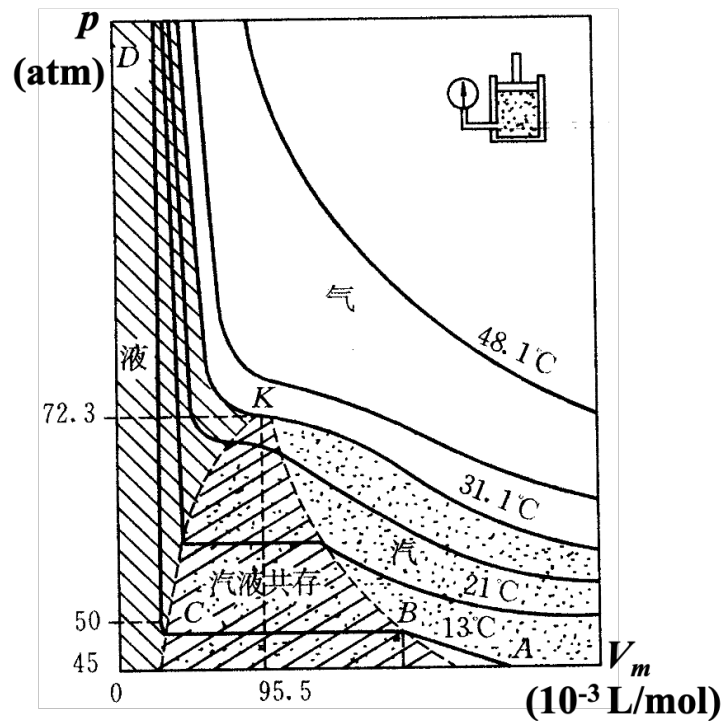
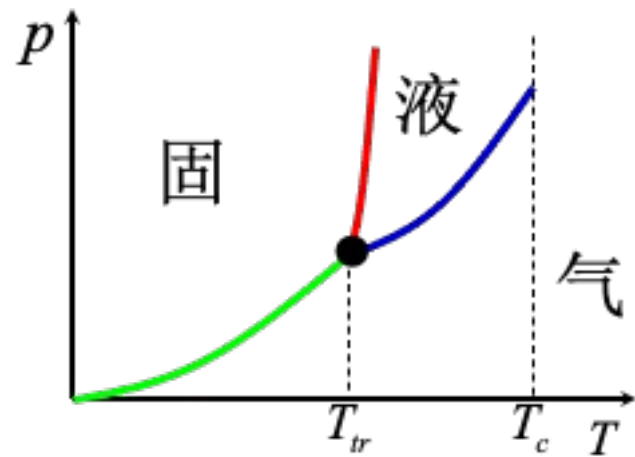
力学平衡条件

$$\mu_\alpha = \mu_\beta$$

化学平衡条件



18.23 A pVT -surface for a substance that expands on melting. Projections of the boundaries on the surface on the pT - and pV -planes are also shown.

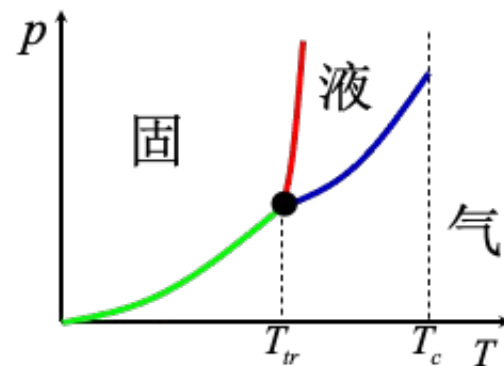


一级相变，克拉珀龙方程

体积和粒子数确定时（内能可变），所有两相平衡的状态在 (T, p) 图上连成一条曲线，曲线上点满足

$$\mu_{\alpha}(T, p) = \mu_{\beta}(T, p)$$

沿相平衡曲线从 (T, p) 到 $(T + dT, p + dp)$



$$\mu_{\alpha}(T + dT, p + dp) = \mu_{\beta}(T + dT, p + dp)$$

$$\left(\frac{\partial \mu_{\alpha}}{\partial T}\right)_p dT + \left(\frac{\partial \mu_{\alpha}}{\partial p}\right)_T dp = \left(\frac{\partial \mu_{\beta}}{\partial T}\right)_p dT + \left(\frac{\partial \mu_{\beta}}{\partial p}\right)_T dp$$

$$\mu = \frac{G}{N}, G = U + pV - TS$$

$$\left(\frac{\partial \mu}{\partial T}\right)_p = \frac{1}{N} \left(\frac{\partial G}{\partial T}\right)_p = -S_m, \quad \left(\frac{\partial \mu}{\partial p}\right)_T = \frac{1}{N} \left(\frac{\partial G}{\partial p}\right)_T = V_m$$

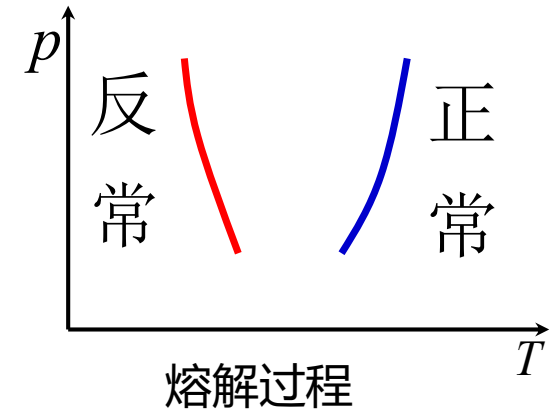
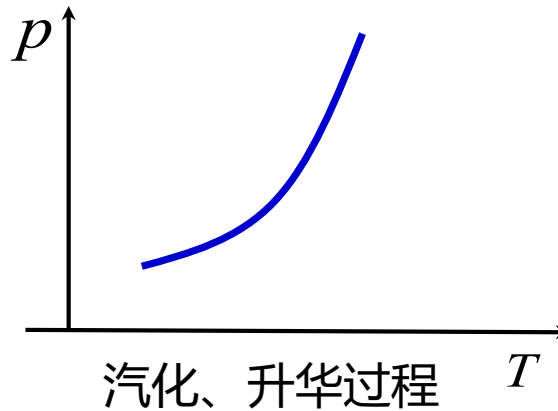
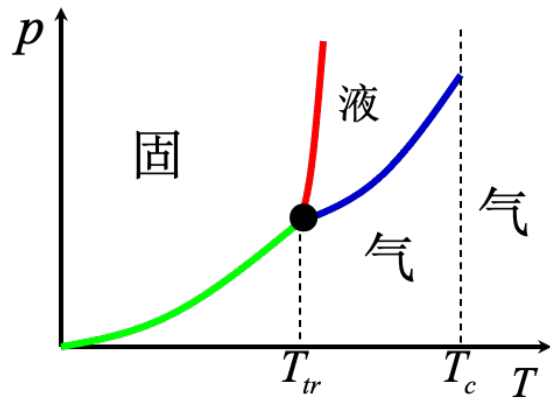
其中 μ, S_m, V_m 分别是系统的化学势、摩尔熵和摩尔体积。

$$\frac{dp}{dT} = \frac{S_{m,\beta} - S_{m,\alpha}}{V_{m,\beta} - V_{m,\alpha}}$$

相变的摩尔潜热 $\Lambda_m = H_{m,\beta} - H_{m,\alpha} = T(S_{m,\beta} - S_{m,\alpha})$

$$\frac{dp}{dT} = \frac{\Lambda_m}{T(V_{m,\beta} - V_{m,\alpha})} \quad \text{—克拉珀龙方程}$$

常见物质相变的相平衡曲线



H_2O 在 1atm 下:

沸点

$$T = 373.15 \text{ K}$$

摩尔汽化热

$$\Lambda_m = 9.7126 \text{ kcal} = 4.0638 \times 10^4 \text{ J/mol}$$

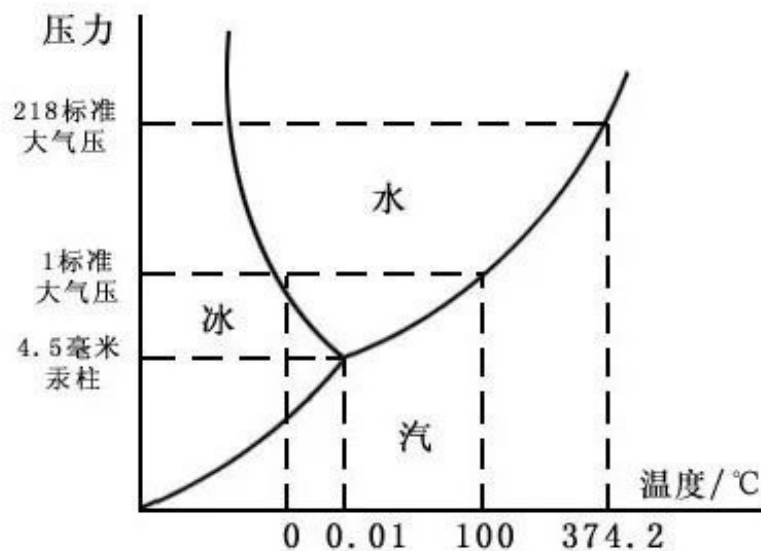
水摩尔体积

$$V_{m,L} = 1.8798 \times 10^{-5} \text{ m}^3/\text{mol}$$

水蒸汽摩尔体积 $V_{m,G} = 3.0139 \times 10^{-2} \text{ m}^3/\text{mol}$

$$\frac{dT}{dp} = \left(\frac{dp}{dT} \right)^{-1} = 28.027 \text{ K/atm}$$

@ $T = 373.15 \text{ K}$



水的三相图

H_2O 在 1atm 下:

沸点 $T = 373.15 \text{ K}$

摩尔汽化热 $\Lambda_m = 9.7126 \text{ kcal} = 4.0638 \times 10^4 \text{ J/mol}$

水摩尔体积 $V_{m,L} = 1.8798 \times 10^{-5} \text{ m}^3/\text{mol}$

水蒸汽摩尔体积 $V_{m,G} = 3.0139 \times 10^{-2} \text{ m}^3/\text{mol}$

二级相变，埃伦费斯特方程

两相的体积和熵都连续

$$\frac{dp}{dT} = \frac{S_{m,\beta} - S_{m,\alpha}}{V_{m,\beta} - V_{m,\alpha}} \rightarrow \frac{0}{0}$$

洛必达法则

$$\begin{aligned} \frac{dp}{dT} &= \frac{\left(\frac{\partial S_{m,\beta}}{\partial T}\right)_p - \left(\frac{\partial S_{m,\alpha}}{\partial T}\right)_p}{\left(\frac{\partial V_{m,\beta}}{\partial T}\right)_p - \left(\frac{\partial V_{m,\alpha}}{\partial T}\right)_p} = \frac{c_{p,m,\beta} - c_{p,m,\alpha}}{TV_m(\alpha_\beta - \alpha_\alpha)} \\ &= \frac{\left(\frac{\partial S_{m,\beta}}{\partial p}\right)_T - \left(\frac{\partial S_{m,\alpha}}{\partial p}\right)_T}{\left(\frac{\partial V_{m,\beta}}{\partial p}\right)_T - \left(\frac{\partial V_{m,\alpha}}{\partial p}\right)_T} = \frac{\alpha_\beta - \alpha_\alpha}{\kappa_\beta - \kappa_\alpha} \end{aligned}$$

—埃伦贝斯特方程

§2 一级相变的基本特征

一、饱和蒸汽压

液气/固气相变, 均有 $V_{m,\beta} \gg V_{m,\alpha}$

$$\frac{dp}{dT} \approx \frac{\Lambda_m}{TV_{m,\beta}}$$

利用气相状态方程 $V_{m,\beta} = V_{m,\beta}(p, T)$, 可以得到饱和蒸气压方程

$$p = p(T)$$

假设理想气体 $V_{m,\beta} = RT/p$

$$\frac{dp}{dT} = \frac{p\Lambda_m}{RT^2}$$

温度很小范围变化时, $\Lambda_m \approx \text{const.}$, $p = p_0 e^{-\Lambda_m/RT}$

讨论相变潜热与温度的关系

$$\Lambda_m(T, p(T)) = H_{m,\beta}(T, p(T)) - H_{m,\alpha}(T, p(T))$$

利用

$$\left(\frac{\partial H_m}{\partial T}\right)_p = c_{pm}, \left(\frac{\partial H_m}{\partial p}\right)_T = v_m - T \left(\frac{\partial v_m}{\partial T}\right)_p$$

$$\frac{d\Lambda_m}{dT} = c_{pm,\beta} - c_{pm,\alpha} + \frac{\Lambda_m}{T} - T \left[\left(\frac{\partial v_{m,\beta}}{\partial T}\right)_p - \left(\frac{\partial v_{m,\alpha}}{\partial T}\right)_p \right] \frac{\Lambda_m}{v_{m,\beta} - v_{m,\alpha}}$$

设 β -相为理想气体, $v_{m,\beta} \gg v_{m,\alpha}$

$$\frac{d\Lambda_m}{dT} = \Delta c_{pm}$$

饱和蒸汽压方程

$$\Lambda_m(T) = \Lambda_m(T_0) + \int_{T_0}^T \Delta c_{pm}(T) dT$$

$$\approx \Lambda_m(T_0) + \Delta c_{pm}(T - T_0)$$

得到

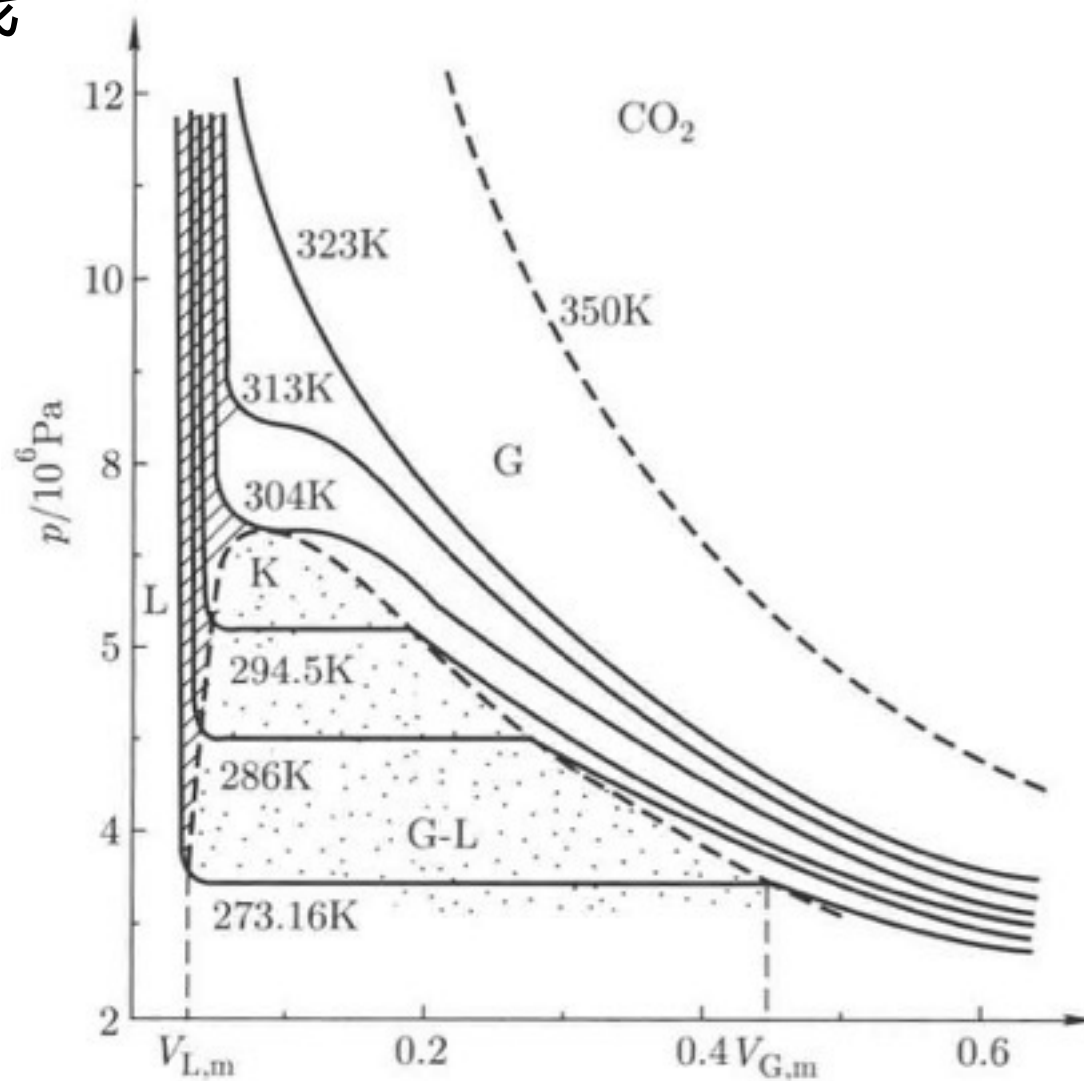
$$\frac{dp}{dT} = \frac{p\Lambda_m}{RT^2} = \frac{p}{RT^2} [\Lambda_m(T_0) + \Delta c_{pm}(T - T_0)]$$

$$\frac{dp}{p} = \frac{dT}{RT^2} [(\Lambda_m(T_0) - \Delta c_{pm}T_0) + \Delta c_{pm}T]$$

$$\ln \frac{p}{p(T_0)} = B \left(1 - \frac{T_0}{T}\right) + C \ln \frac{T}{T_0} \quad B = \frac{\Lambda_m(T_0) - \Delta c_{pm}T_0}{RT_0}$$

$$C = \frac{\Delta c_{pm}}{R}$$

二、相平衡曲线



CO₂ 等温线示意图

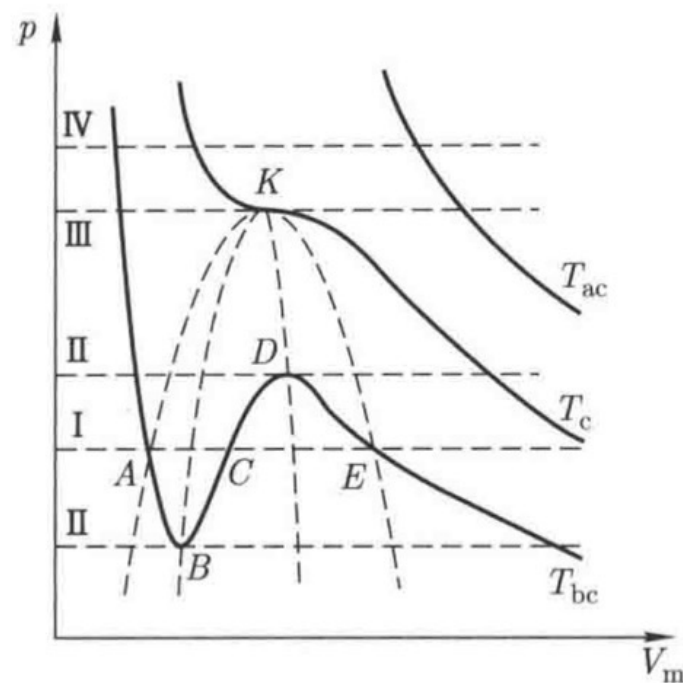
三、范德瓦尔斯方程的汽液相变

给定 p , T 时, V_m 解的四情况:

- I. 三个不等的实根 (相平衡)
- II. 三个实根, 但其中两个相等 (单相-双相转变点)
- III. 三个相等实根 (临界点)
- IV. 一个实根、两个虚根 (单相点)

不存在描述气液共存的等压线,
需要通过热力学定律确定。

$$\left(p + \frac{a}{V_m^2}\right)(V_m - b) = RT$$
$$V_m^3 - \left(b + \frac{RT}{p}\right)V_m^2 + \frac{a}{p}V_m - \frac{ab}{p} = 0$$



*临界点

$$V_{mc} = 3b$$

$$p_c = a/27b^2$$

$$RT_c = 8a/27b^2$$

$$\left(p + \frac{a}{V_m^2}\right)(V_m - b) = RT$$
$$V_m^3 - \left(b + \frac{RT}{p}\right)V_m^2 + \frac{a}{p}V_m - \frac{ab}{p} = 0$$

引入新变量

$$\theta = T/T_c, \omega = p/p_c, \varphi = V_m/V_{mc}$$

范德瓦尔斯对比物态方程

$$(\omega + 3/\varphi^2)(\varphi - 1/3) = 8/3 \theta$$

对应态定律

取定等压线

气相摩尔体积 $V_{G,m} = V_E$

液相摩尔体积 $V_{L,m} = V_A$

气相/液相化学势

$$\mu_G = F_{G,m} + p^* V_E$$

$$\mu_L = F_{L,m} + p^* V_A$$

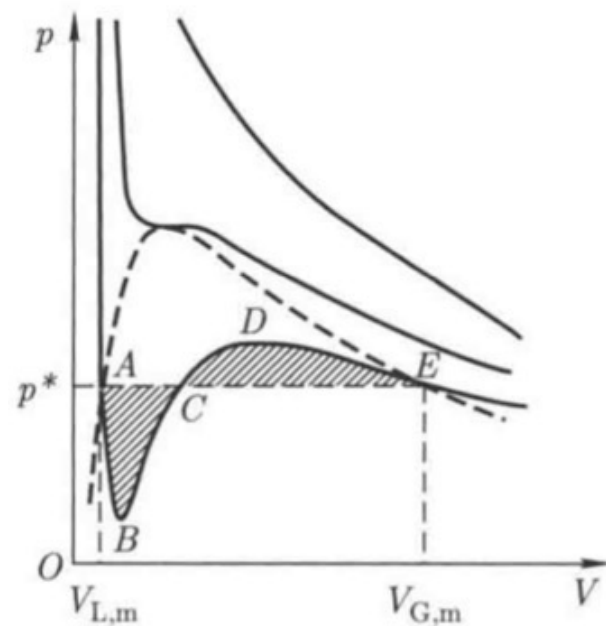
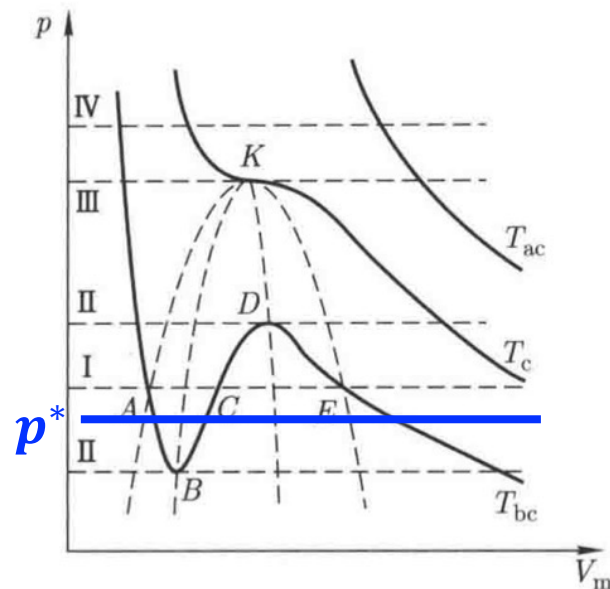
相平衡条件 $\mu_G(p^*, T) = \mu_L(p^*, T)$

$$F_{L,m} - F_{G,m} = p^* (V_E - V_A)$$

等温过程 $dF = -SdT - pdV = -pdV$

$$F_{L,m} - F_{G,m} = \int_{ABCDE} p dV$$

麦克斯韦等面积法则 $\rightarrow p^*$



两相共存时质量的关系 – 杠杆原理

液相质量 $\chi_L = v_L/v$

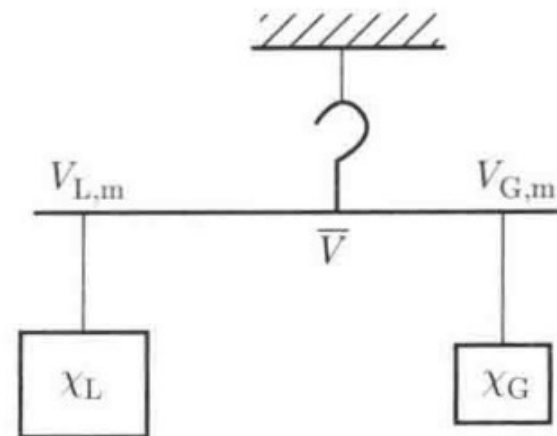
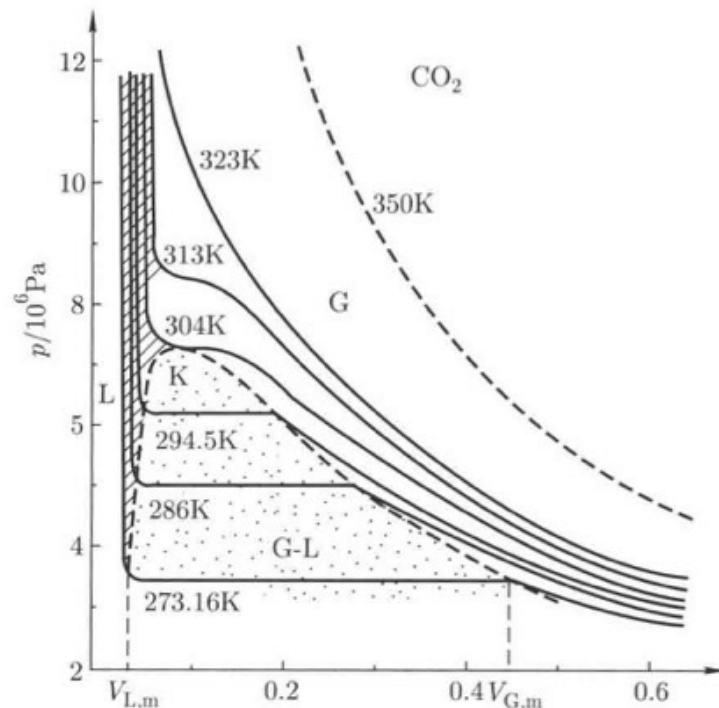
气相质量 $\chi_G = v_G/v$

$$\chi_L + \chi_G = 1$$

等压时两相共存的摩尔体积

$$\bar{V} = \chi_L V_{L,m} + \chi_G V_{G,m}$$

$$\chi_L (V_{L,m} - \bar{V}) = \chi_G (\bar{V} - V_{G,m})$$



两相共存的稳定性

液相摩尔自由能 F_L

气相摩尔自由能 F_G

两相共存的摩尔自由能：

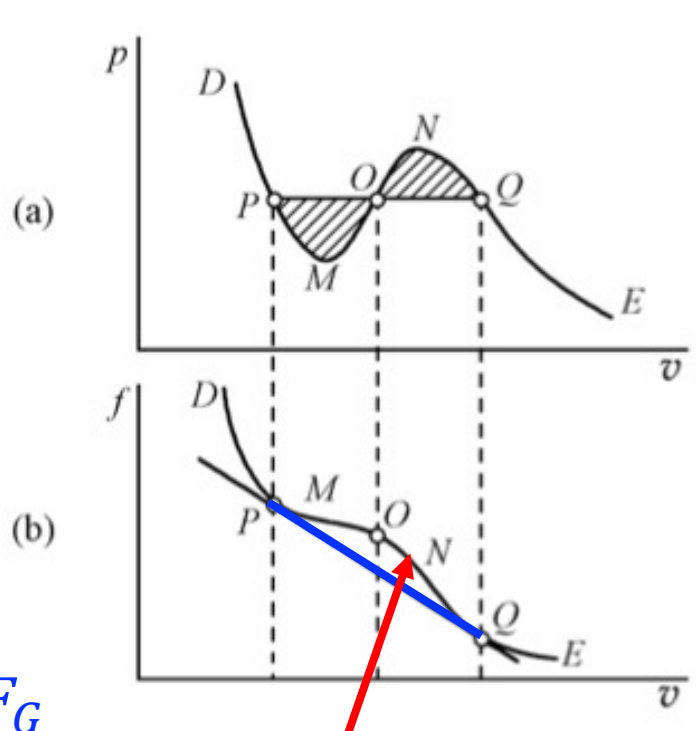
$$F = \chi_L F_L + \chi_G F_G$$

$$= \frac{V_{G,m} - \bar{V}}{V_{G,m} - V_{L,m}} F_L + \frac{\bar{V} - V_{L,m}}{V_{G,m} - V_{L,m}} F_G$$

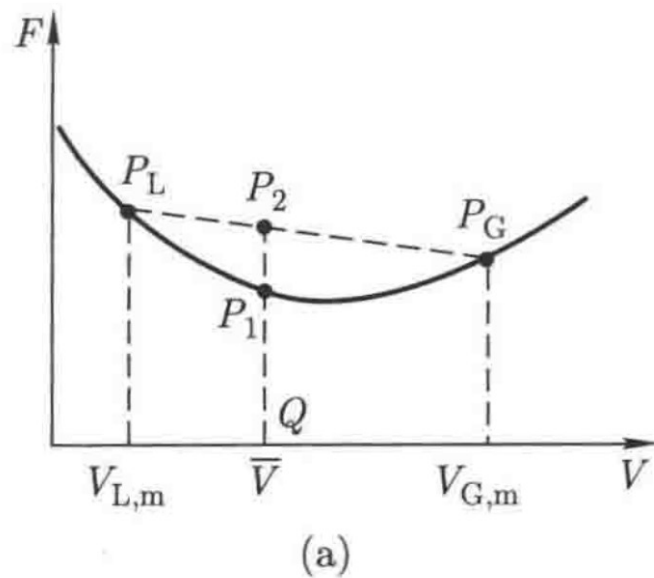
沿范德瓦尔斯等温线的自由能

$$\left(\frac{\partial F}{\partial V}\right)_T = -p \rightarrow F(T, V) = - \int p dV$$

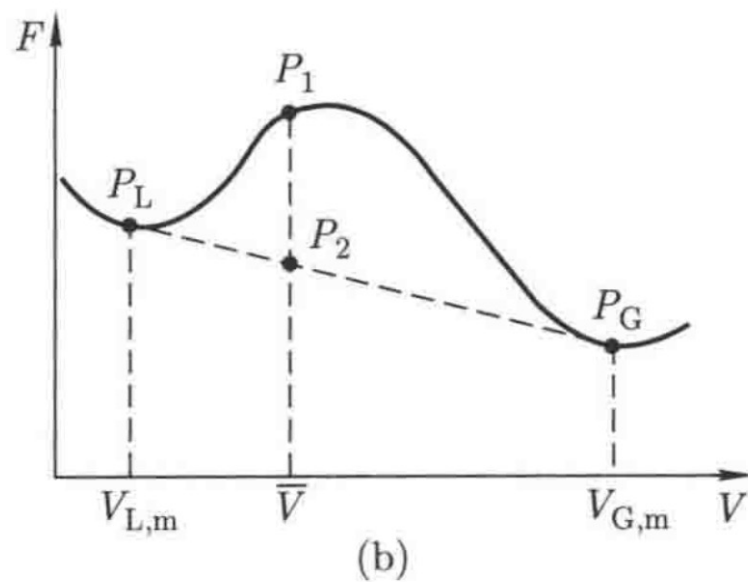
$$F(T, V) = F_0(T) - RT \ln(V - b) - \frac{a}{V}$$



出现两相共存的可能性



不能



可能

四、过饱和现象

弯曲液面的饱和蒸汽压

$$\mu_L \left(T, p' + \frac{2\sigma}{r} \right) = \mu_G(T, p')$$

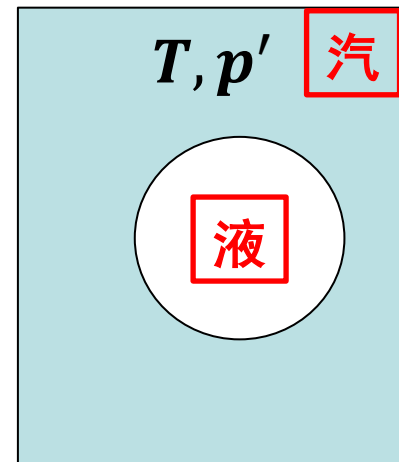
相同温度下，平直界面的相平衡条件：

$$\mu_L(T, p) = \mu_G(T, p)$$

$$\begin{aligned} \mu_L \left(T, p' + \frac{2\sigma}{r} \right) &= \mu_L(T, p) + \int_p^{p' + \frac{2\sigma}{r}} \frac{\partial \mu_L(T, p)}{\partial p} dp \\ &= \mu_L(T, p) + \int_p^{p' + \frac{2\sigma}{r}} v_L(T, p) dp \approx \mu_L(T, p) + v_L \left(p' - p + \frac{2\sigma}{r} \right) \end{aligned}$$

$$\mu_G(T, p') = \mu_G(T, p) + RT \ln \frac{p'}{p} \quad (\text{假设理想气体等温过程})$$

$$v_L \left(p' - p + \frac{2\sigma}{r} \right) = RT \ln \frac{p'}{p}$$



$$v_L \left(p' - p + \frac{2\sigma}{r} \right) = RT \ln \frac{p'}{p}$$

量级估计

$$v_L \left(p' - p + \frac{2\sigma}{r} \right) = p' v_G \ln \frac{p'}{p} \quad \ln \frac{p'}{p} = \left(\frac{v_L}{v_G} \right) \left(p' - p + \frac{2\sigma}{r} \right) / p'$$

—般情况 $|p' - p| \ll p$

$\sim 10^{-3}$ $\sim 1 \text{ atm } (r \sim 10^{-6} \text{ m})$

$$\ln \left(1 + \frac{p' - p}{p} \right) \approx \frac{p' - p}{p} = \frac{v_L}{RT} \left(p' - p + \frac{2\sigma}{r} \right) = \frac{p' - p}{p v_G} v_G$$

$$\rightarrow (p' - p) = \frac{v_L}{v_G - v_L} \frac{2\sigma}{r}$$

$$\frac{\rho_G}{\rho_L - \rho_G}$$

$$r_c \equiv \frac{2\sigma \rho_G}{(\rho_L - \rho_G)(p' - p)}$$

中肯半径

对半径确定的水滴

$$(p' - p) = \frac{\rho_G}{\rho_L - \rho_G} \frac{2\sigma}{r} > 0$$

需要更高的蒸气压才能保证 $\mu_L < \mu_G$

→ 水滴增大

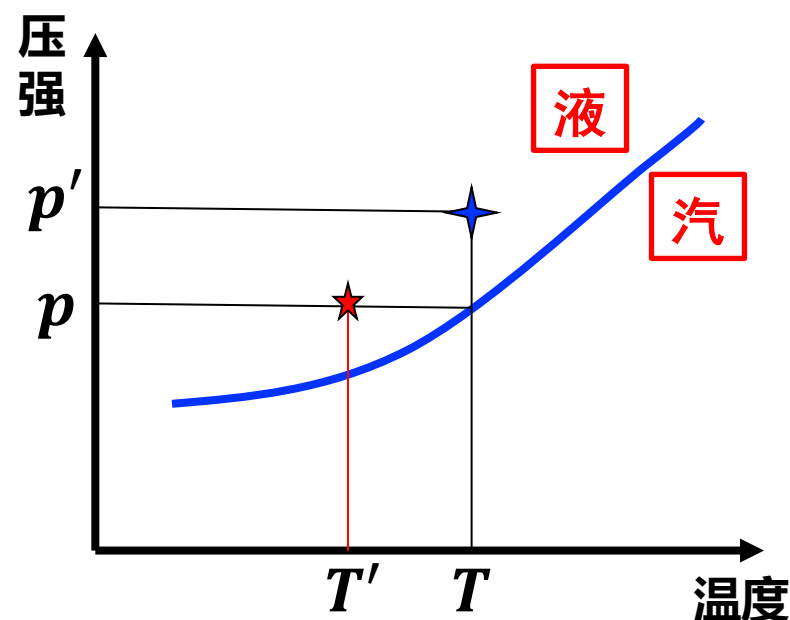
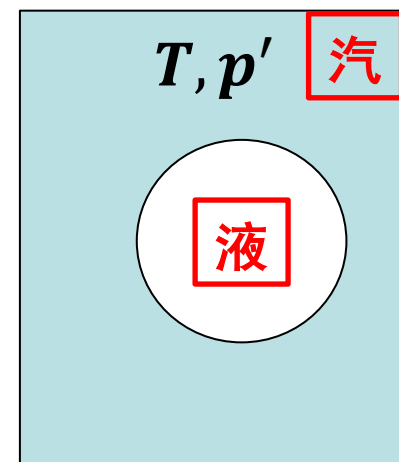
或者保持蒸气压 p , 降低温度

过冷蒸汽

或者对给定蒸气压 $p' > p$, “制造”

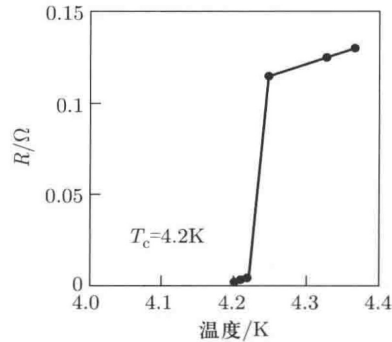
$$r > r_c \equiv \frac{2\sigma\rho_G}{(\rho_L - \rho_G)(p' - p)}$$

第09章

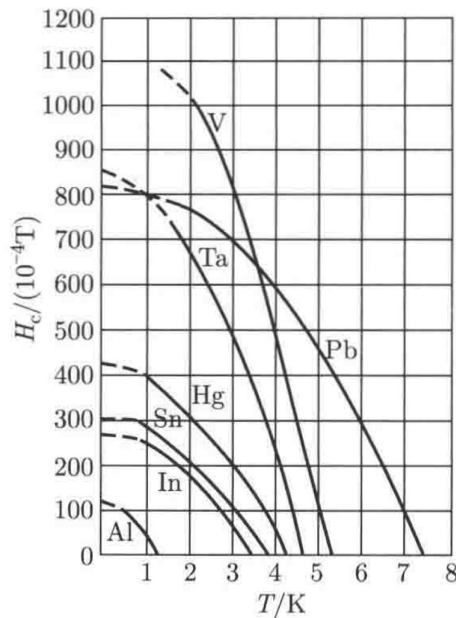


§3 连续相变

一、1911年昂尼斯 (H. K. Onnes)发现超导现象



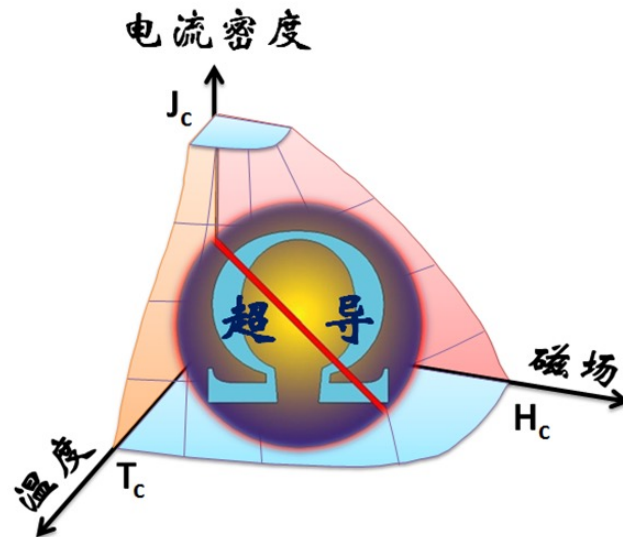
汞电阻率随温度变化行为



临界磁场和临界电流

$$H_c(T) = H_c(0) \left[1 - \left(\frac{T}{T_c} \right)^2 \right]$$

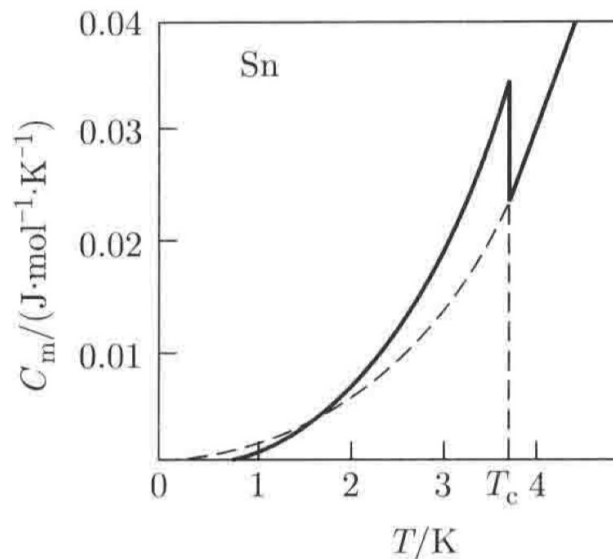
$$i_c(T) = i_c(0) \left[1 - \left(\frac{T}{T_c} \right)^2 \right]$$



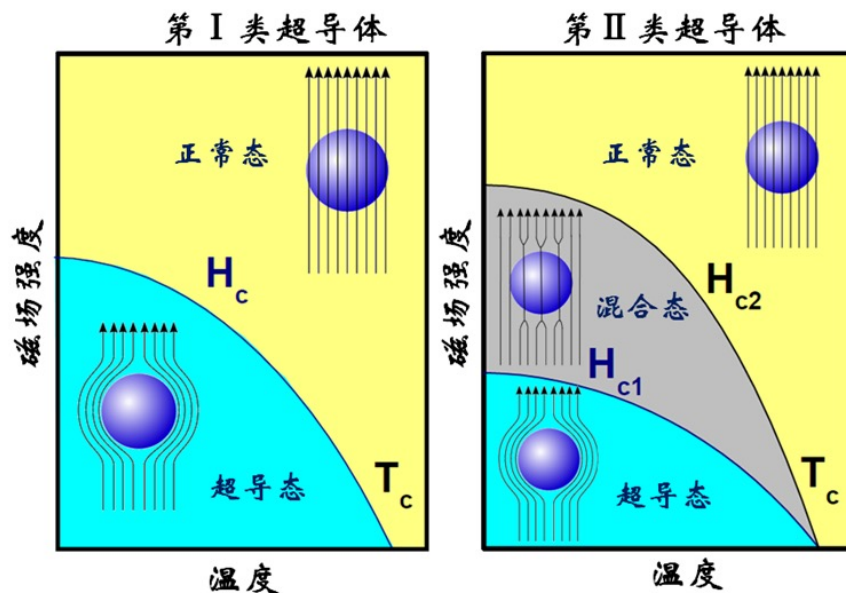
“ λ - 相变”

超导体的热容量有跃变

I, II-类超导体



锡的热容量在超导临界点附近的行为

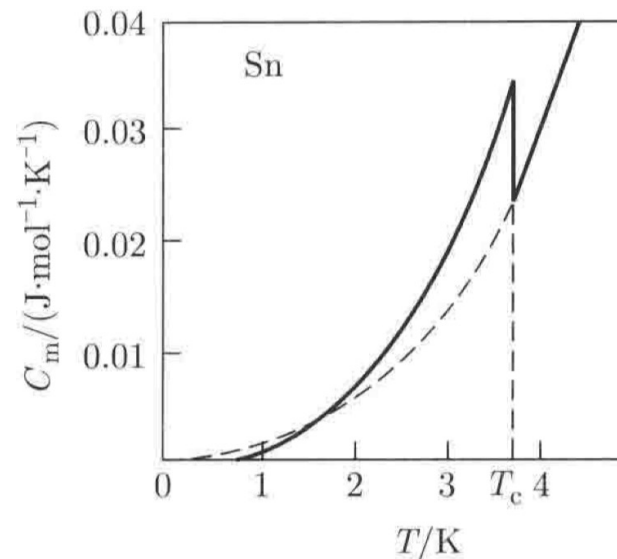


以下只讨论 I-类超导体

$$\vec{B} = \mu_0(\vec{H} + \vec{M}) = 0$$

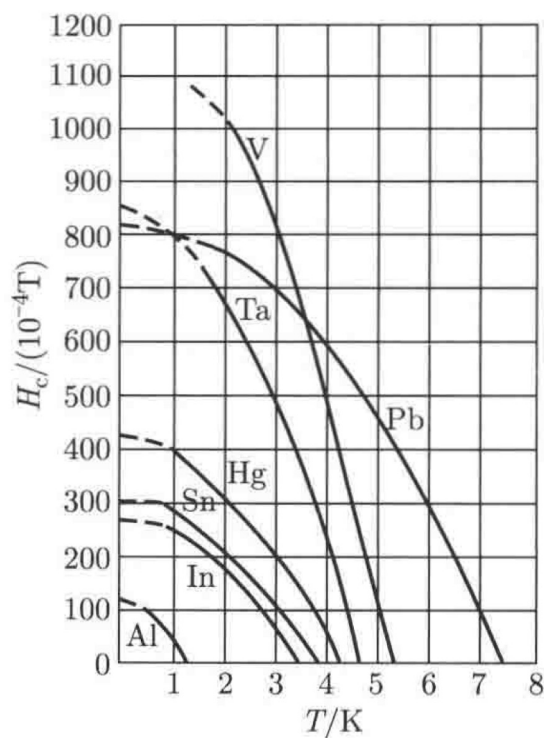
“ λ - 相变”

超导体的热容量有跃变



锡的热容量在超导临界点附近的行为

临界磁场和临界电流



$$H_c(T) = H_c(0) \left[1 - \left(\frac{T}{T_c} \right)^2 \right]$$

$$i_c(T) = i_c(0) \left[1 - \left(\frac{T}{T_c} \right)^2 \right]$$

超导的热力学基础

$$\mathrm{d}W = V\vec{H} \cdot \mathrm{d}\vec{B}, \quad \vec{B} = \mu_0(\vec{H} + \vec{M})$$

$$\mathrm{d}W = V\mathrm{d}\left(\frac{1}{2}\mu_0 H^2\right) + V\mu_0\vec{H} \cdot \mathrm{d}\vec{M}$$

磁场能改变 ≈ 0

$$\mathrm{d}U = T\mathrm{d}S - p\mathrm{d}V + V\mu_0\vec{H} \cdot \mathrm{d}\vec{M}$$

$$G = U - TS + pV - V\mu_0\vec{H} \cdot \vec{M}$$

$$\mathrm{d}G = -S\mathrm{d}T + V\mathrm{d}p - V\mu_0 M\mathrm{d}H = -S\mathrm{d}T - V\mu_0 M\mathrm{d}H$$

≈ 0 恒压

$$\rightarrow G(T, p, H) - G(T, p, 0) = -V\mu_0 \int_0^H M\mathrm{d}H$$

$$G(T, p, H) - G(T, p, 0) = -V\mu_0 \int_0^H M dH$$

对于超导态: $\vec{B} = \mu_0(\vec{H} + \vec{M}) \rightarrow \vec{M} = -\vec{H}$

$$G_s(T, p, H) - G_s(T, p, 0) = V \frac{1}{2} \mu_0 H^2$$

$$g_s(T, p, H) - g_s(T, p, 0) = V_m \frac{1}{2} \mu_0 H^2 \quad (\text{化学势, } V_m \text{ 是摩尔体积})$$

对于正常态: $\vec{M} \approx 0$

$$g_n(T, p, H) - g_n(T, p, 0) = 0$$

在临界磁场时 $g_n(T, p, H_c) = g_s(T, p, H_c)$

$$H_c = \left\{ [g_n(T, p, 0) - g_s(T, p, 0)] / \left(V_m \frac{\mu_0}{2} \right) \right\}^{\frac{1}{2}}$$

超导—正常态的熵变

$$s_m = - \left(\frac{\partial g}{\partial T} \right)_{p,H}$$

$$s_n(T, p, 0) - s_s(T, p, 0)$$

$$= -V_m \mu_0 H_c \frac{dH_c}{dT} > 0$$

$$H_c(T) = H_c(0) \left[1 - \left(\frac{T}{T_c} \right)^2 \right] \rightarrow \frac{dH_c}{dT} < 0$$

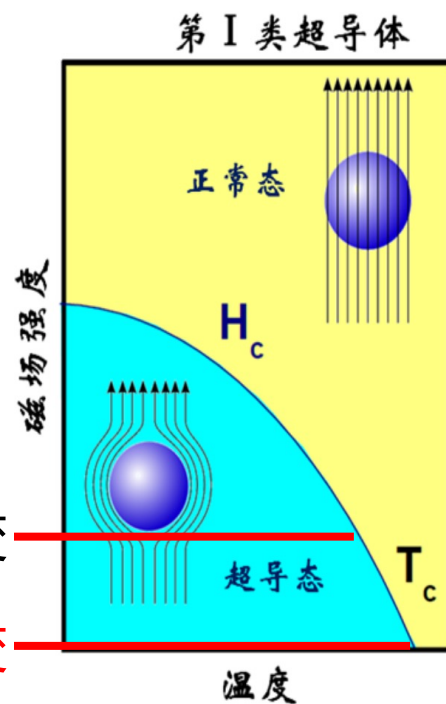
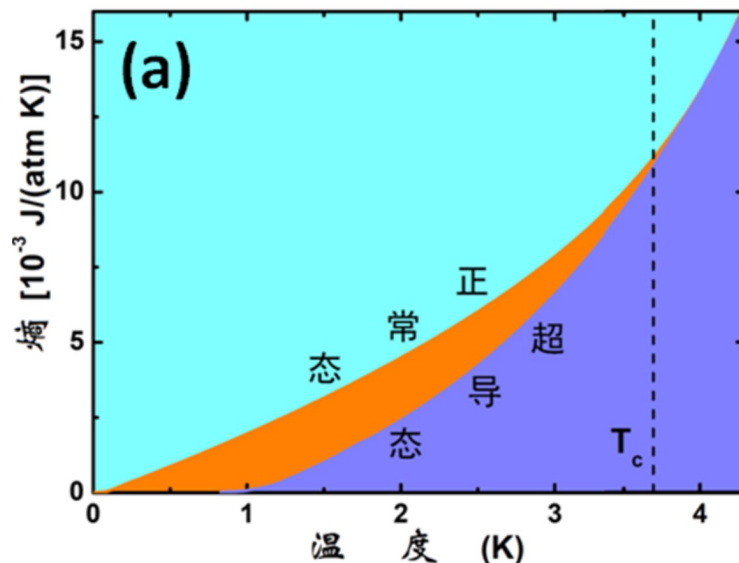
相变潜热

$$\Delta Q = T[s_n(T, p, H_c(T)) - s_s(T, p, H_c(T))]$$

$$= -V_m \mu_0 T H_c \frac{dH_c}{dT}$$

$H > 0 \rightarrow \Delta Q > 0$: 一级相变

$H = 0 \rightarrow \Delta Q = 0$: 二级相变



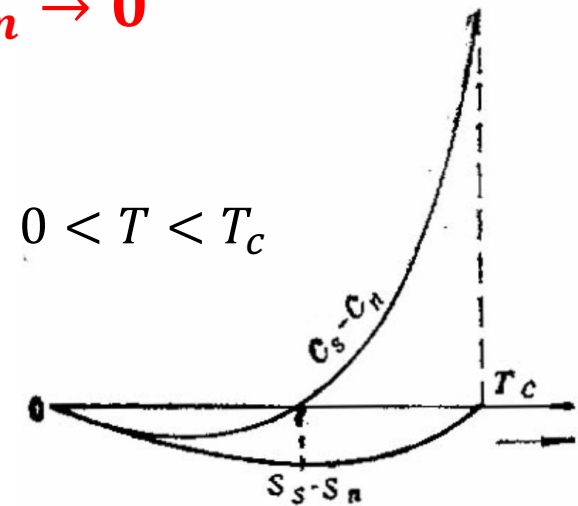
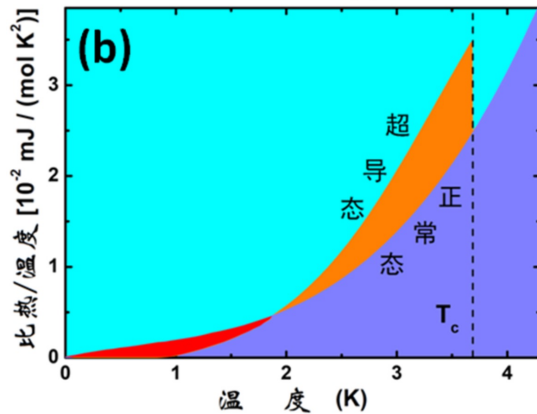
热容跃变

$$c_m = T \left(\frac{\partial s_m}{\partial T} \right)_{p,H}$$

$$c_s - c_n = V_m \mu_0 T \left[H_c \frac{d^2 H_c}{dT^2} + \left(\frac{dH_c}{dT} \right)^2 \right]$$

$$T = T_c \rightarrow c_s - c_n \Big|_{T=T_c} = V_m \mu_0 T_c \left[\left(\frac{dH_c}{dT} \right)^2 \right]_{T=T_c}$$

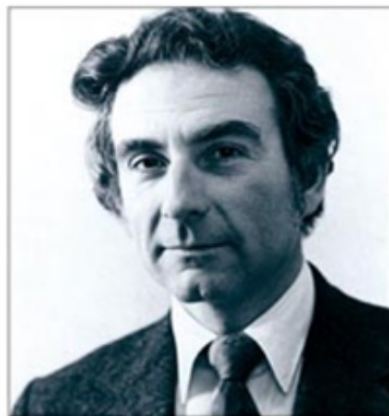
$$T \rightarrow 0: \quad c_s - c_n \rightarrow 0$$



BCS理论



John Bardeen
1908-1991



Leon Cooper
1930-



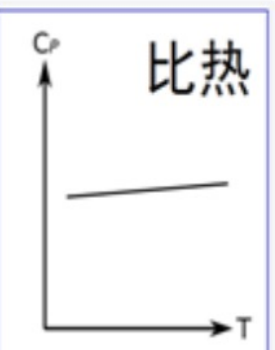
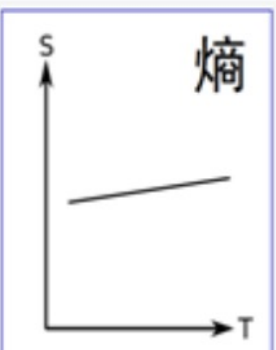
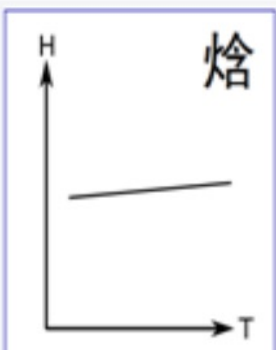
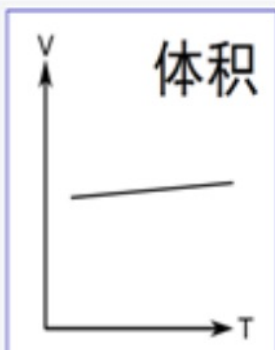
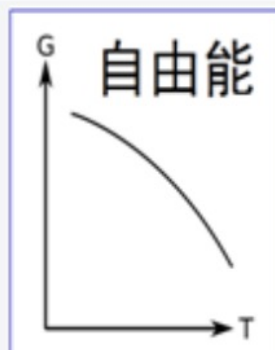
John Schrieffer
1931-



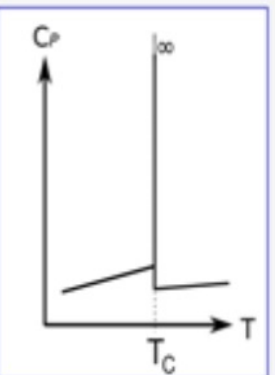
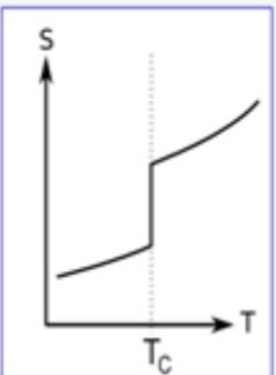
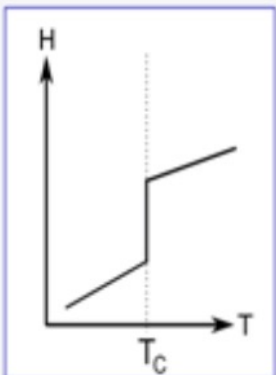
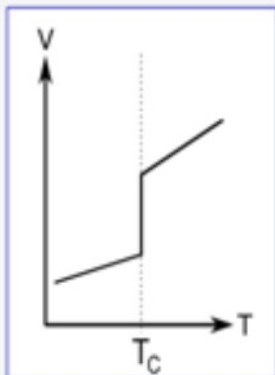
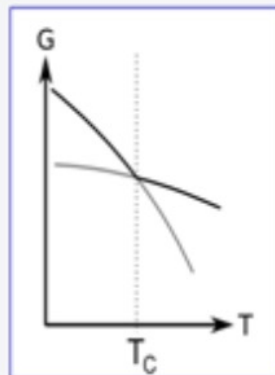


华君武先生漫画、李政道先生授意：“双结生翅生超导、单行苦奔遇阻力”

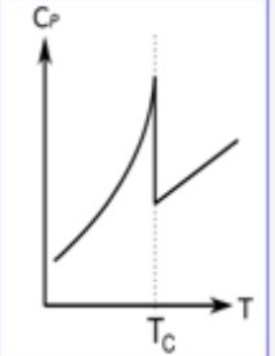
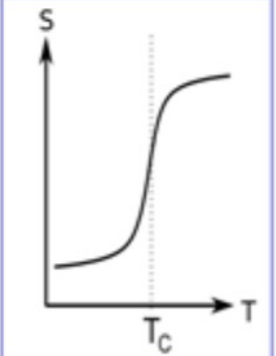
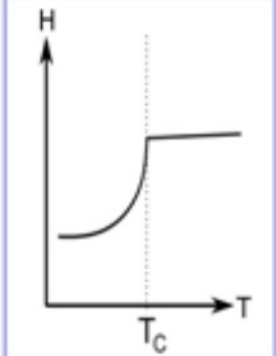
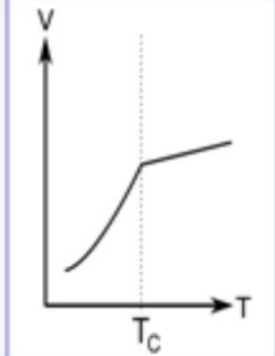
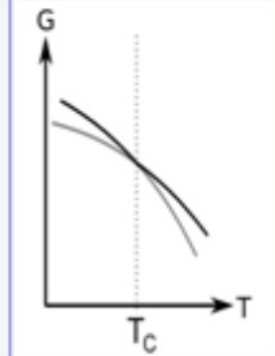
变 相 无



一 级 相 变



二 级 相 变



连续相变的一般情形

二级及二级以上的相变统称为连续相变。

可以用一个序参量来能够定量刻画连续相变在临界点的行为。
例：

- (1) 液—气通过临界点的转变。序参量： $\rho_l - \rho_g$
- (2) 铁磁顺磁的转变。序参量：磁化强度。
- (3) 合金的有序无序转变。序参量：有序度。
- (4) 液氦的正常与超流的转变。序参量：氦原子的量子概率幅度。
- (5) 零磁场下正常状态和金属超导状态之间的转变。序参量：电子对的量子概率幅度。

埃伦费斯特方程

克拉珀龙方程 $\frac{dp}{dT} = \frac{S_m^\beta - S_m^\alpha}{V_m^\beta - V_m^\alpha} = \frac{\Delta S_m}{\Delta V_m}$ 只应用于一级相变。

$$V = \left(\frac{\partial G}{\partial p} \right)_T, \quad S = - \left(\frac{\partial G}{\partial T} \right)_p$$

在临界点, $\Delta S_m = 0$, $\Delta V_m = 0$, 上式变为**0/0**不定式。应用洛必达法则, 将分子、分母对 T 求微商得:

$$\frac{dp}{dT} = \frac{\left(\frac{\partial S_m^\beta}{\partial T} \right)_p - \left(\frac{\partial S_m^\alpha}{\partial T} \right)_p}{\left(\frac{\partial V_m^\beta}{\partial T} \right)_p - \left(\frac{\partial V_m^\alpha}{\partial T} \right)_p} = \frac{(c_p^\beta - c_p^\alpha) / T}{V_m (\alpha^\beta - \alpha^\alpha)} = \frac{\Delta c_p}{TV_m \Delta \alpha}$$

其中 $\alpha = \frac{1}{V_m} \left(\frac{\partial V_m}{\partial T} \right)_p$ 为等压膨胀系数, $V_m^\alpha = V_m^\beta = V_m$

将上式得分子、分母对 p 求微商，得：

$$\frac{dp}{dT} = \frac{\left(\frac{\partial S_m^\beta}{\partial p}\right)_T - \left(\frac{\partial S_m^\alpha}{\partial p}\right)_T}{\left(\frac{\partial V_m^\beta}{\partial p}\right)_T - \left(\frac{\partial V_m^\alpha}{\partial p}\right)_T} = \frac{-\frac{1}{V_m}\left(\frac{\partial V_m^\beta}{\partial T}\right)_p + \frac{1}{V_m}\left(\frac{\partial V_m^\alpha}{\partial T}\right)_p}{\frac{1}{V_m}\left(\frac{\partial V_m^\beta}{\partial p}\right)_T - \frac{1}{V_m}\left(\frac{\partial V_m^\alpha}{\partial p}\right)_T} = \frac{\Delta\alpha}{\Delta\kappa_T},$$

$$\left(\left(\frac{\partial S}{\partial p}\right)_T = -\left(\frac{\partial V}{\partial T}\right)_p\right)$$

显然，要保持自洽性，必然有：

$$\frac{\Delta c_p}{TV_m\Delta\alpha} = \frac{\Delta\alpha}{\Delta\kappa_T}, \quad \Delta c_p = TV_m \frac{(\Delta\alpha)^2}{\Delta\kappa_T}$$

临界现象与临界指数

临界现象：临界现象指物质在连续相变**临界点领域**的行为。

临界指数：在连续相变临界点的领域，与化学势二阶导数相应的量，如热容、等温压缩系数表现出某种非解析特性。人们往往用幂函数表现这种特性，其**幂次**（负幂次）称为临界指数。

以临界点附近的液—气转变的临界现象说明临界指数。序参量

$$\rho_l - \rho_g$$

(1) 序参量随温度的变化：临界指数 β

$$\text{令 } t = \frac{T - T_c}{T}, \quad \rho_l - \rho_g \propto (-t)^\beta, \quad t \rightarrow -0$$

临界指数 β 的实验值在**0.32~0.35**之间。

(2) 等温压缩系数随温度的变化 γ

$$\kappa_T = -\frac{1}{V_m} \left(\frac{\partial V_m}{\partial p} \right) = \frac{1}{\rho} \left(\frac{\partial \rho}{\partial p} \right)$$

$$\kappa_T \propto (t)^{-\gamma}, \quad t \rightarrow +0; \quad \kappa_T \propto (-t)^{-\gamma'}, \quad t \rightarrow -0$$

临界指数 γ 的实验值在**1.2~1.3**之间； γ' 的实验值在**1.1~1.2**之间。

等温压缩系数的发散意味着在临界点的领域，偶然的压力涨落将导致显著的密度涨落。

(3) 定容比热随温度的变化 c_V

$$c_V \propto (t)^{-\alpha}, \quad t \rightarrow +0; \quad c_V \propto (-t)^{-\alpha'}, \quad t \rightarrow -0$$

临界指数 α, α' 的实验值在**0.1~0.2**之间。

定容比热的发散意味着在临界点的领域系统达到热平衡十分困难。

(4) 临界压力与临界密度的关系 δ

$$p - p_c \propto \pm |\rho - \rho_c|^\delta$$

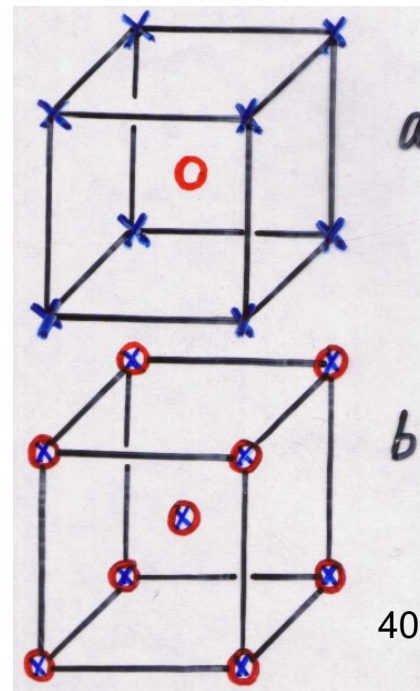
临界指数 δ 的实验值在**4.6~5.0**之间。

朗道二级相变理论简介 (Landau, 1937)

朗道理论的两个重要概念：**序参量**和**对称性破缺**。理论解释的相变为**有序—无序**相变。

以黄铜合金为例，常温下，**Cu**原子和**Zn**原子倾向于相间排列（**a**）；温度升高，**Cu**原子和**Zn**原子开始偏离原位置；临界温度（**742K**）以上，**Cu**原子和**Zn**原子随机排列（**b**）。比热测量显示，在临界温度下，其比热有 λ 型尖峰。

这种有不同类粒子从规则排列到不规则排列而引起的相变称为**有序—无序**相变。



序参量

为描述合金中原子排列的有序程度，定义序参量

$$\eta = \frac{R - W}{R + W}$$

其中 **R**、**W** 分别是两种原子占对或占错其原来该占据的格点的概率。

$\eta = 1$ 表示全占对 (**R=1, W=0**)； $\eta = -1$ 表示全占错 (**R=0, W=1**)； $\eta = 0$ 表示对错参半、完全无序。

η 随温度变化的规律
$$\begin{cases} T > T_c, \eta = 0; \\ T < T_c, \eta \text{ 林林} < T \text{ 临界} \rightarrow 0 \end{cases}$$

序参量与对称性的关系

对称性 —— 在一定变换（操作）下的不变性。

无序 \longrightarrow 对称性高

无序到有序 \longrightarrow 对称性破缺

有序 \longrightarrow 对称性低

有序到无序 \longrightarrow 对称性恢复

$\eta = \pm 1$ 变换受限制，有序， $\eta = 0$ 变换任意性较大，无序。

朗道的二级相变理论

任意一个二级相变都有一个反映系统对称的序参量 η 和控制参量 (如 T)，当控制参量达到某临界值 T_c 时发生相变。将热力学函数 G 在 T_c 附近按 η 展开， $G = G_0 + A_1\eta + A_2\eta^2 + A_3\eta^3 + A_4\eta^4 + \dots$

因为系统关于序参量镜像对称

$$G(\eta > 0) = G(\eta < 0) \implies A_1 = A_3 = \dots = 0,$$

$$G = G_0 + A_2\eta^2 + A_4\eta^4 + \dots \quad A_2, A_4 \text{ 是 } p, T \text{ 的函数}$$

对应高对称相 $\eta = 0$ ， $G = G_0$ ，

如果该态稳定， G 应取极小值，即 $\left(\frac{\partial^2 G}{\partial \eta^2}\right)_{\eta=0} > 0$ ，从而 $A_2 > 0$

若该态不稳定， G 应取极大值，即 $\left(\frac{\partial^2 G}{\partial \eta^2}\right)_{\eta=0} < 0$ ，从而 $A_2 < 0$

那么， A_2 在 $T = T_c$ 时应该变号， $A_2(T, p) = a(p)(T - T_c)$ 。

在临界点 $T = T_c$ 处系统存在稳定态，因而至少在临界点附近应该有

$$\left(\frac{\partial^2 G}{\partial \eta^2} \right)_{p, \eta \neq 0} > 0 \rightarrow A_4 > 0$$

作为零级近似： $A_4(T, p) = A_4(T_c, p) > 0$

$$G = G_0 + a(p)(T - T_c)\eta^2 + A_4(p)\eta^4$$

低对称相的稳定平衡态位于 **G** 极小，

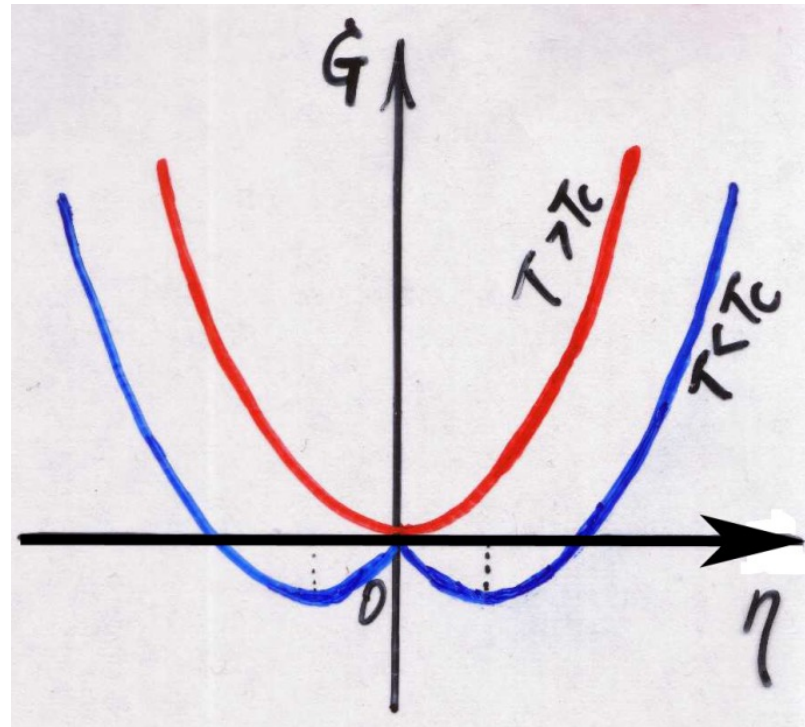
$$\frac{\partial G}{\partial \eta} = 2(a(p)(T - T_c)\eta + 4A_4(p)\eta^3) = 0$$

由此得，在相变点 T_c 附近：

$$\eta = 0, \quad T > T_c;$$

$$\eta = \pm \sqrt{\frac{a(p)}{2A_4(p)}}(T_c - T)^{1/2}, \quad T \leq T_c$$

临界指数： $\beta = 1/2$



郎道二级相变理论的一个重要预言是热容量在临界点发生跃变。

郎道二级相变理论: $G = G_0 + a(p)(T - T_c)\eta^2 + A_4(p)\eta^4$

$$S = -\left(\frac{\partial G}{\partial T}\right)_p = S_0 - a\eta^2 = \begin{cases} S_0 & \eta = 0, \quad \square \text{ 相} \\ S_0 - \frac{a^2}{2A_4}(T_c - T) & \eta = \pm \sqrt{\frac{a}{2A_4}}(T_c - T)^{1/2} \end{cases}$$

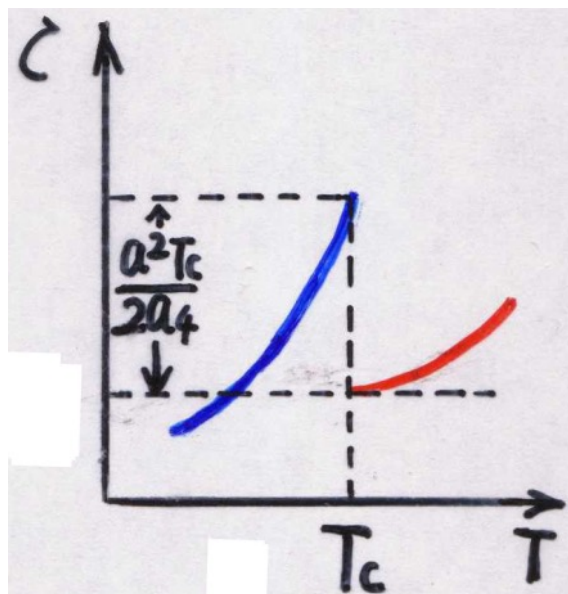
低对称相

由 $dQ = TdS = T\left[\left(\frac{\partial S}{\partial T}\right)_p dT + \left(\frac{\partial S}{\partial p}\right)_T dp\right]$ 得:

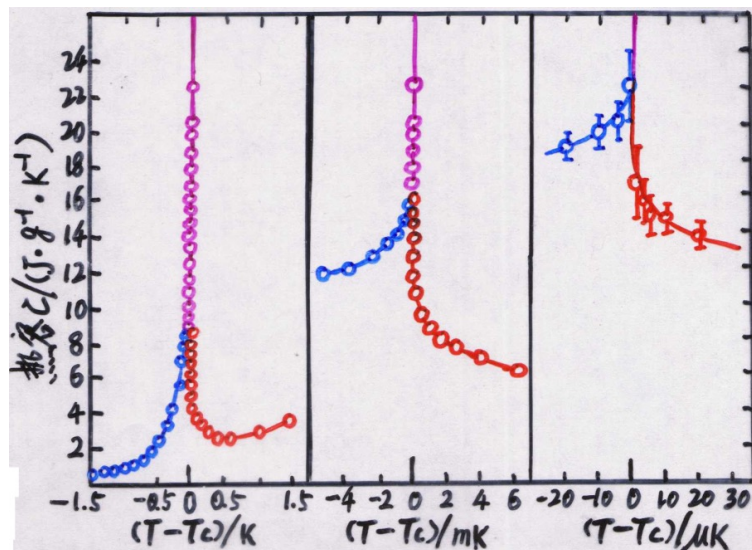
$$C_p = \left(\frac{\partial Q}{\partial T}\right)_p = T\left(\frac{\partial S}{\partial T}\right)_p = \begin{cases} C_{p0} & \square \text{ 相} \\ C_{p0} + \frac{a^2}{2A_4}T & \text{ 相} \end{cases}$$

在临界点处定压热容发生跃变, $C_{p\text{ 相}} - C_{p\square} = \frac{a^2}{2A_4}T_c$ 临界指数: $\alpha = 0$

理论结果与实验结果的比较如下图示



理论结果



^4He 的实验结果

理论与试验比较

理论: $\beta = 1/2$, $\delta = 3$, $\gamma = 1$, $\alpha = 0$

试验: $\beta \approx 0.34$, $\delta \approx 4.8$, $\gamma \approx 1.2$, $\alpha \approx 0.1$

误差来源: 朗道理论是平均场理论。在临界点涨落很大。金兹堡 (Ginzburg) 判据给出更精确的理论。